

T.C.
DOKUZ EYLÜL ÜNİVERSİTESİ
TIP FAKÜLTESİ
İLK VE ACİL YARDIM ANABİLİM DALI

**AKUT AYAK BİLEĞİ BURKULMASINDA ANTERIOR TALOFİBULAR
LİGAMAN LEZYONUNU SAPTAMADA ULTRASONOGRAFİK
BULGULARIN TANISAL DEĞERİ**

Uzmanlık Tezi

T 86754

Dr. Rıdvan ATILLA

İZMİR-1999

DOKUMANTASYON MERKEZİ

86754



*Bu tez Prof. Dr. Ali Günerli'nin
danışmanlığında hazırlanmıştır.*

ÖNSÖZ

Dokuz Eylül Üniversitesi Tıp Fakültesi İlk ve Acil Yardım Anabilim Dalı'ndaki uzmanlık eğitimim boyunca bana aktardıkları bilgi ve deneyimleri ile yetişmemde emeği geçen tüm hocalarıma, daima sevgi ve yardımlarını gördüğüm uzmanlarına, acil servisin hemşirelerine, sekreterlerine, teknisyenlerine ve personellerine teşekkür ederim.

Ayrıca, tüm bilgisi ve kütüphanesi yanında hekimliğin erdemli yanını, çalışkanlığını, ideal bir Acil Tıp uzmani örneğini kişiliğinde bizimle paylaşma fırsatı veren ve bildiğim her şeyi bana öğreten Sn.Uzm. Dr. John Fowler'a teşekkür ederim.

Tezimin yazılmasında büyük emeği geçen, bilgi ve tecrübeleri ile beni yönlendiren, yardımlarını ve değerli zamanlarını esirgemeyen Anabilim dalı Başkanımız Sn. Prof. Dr. Ali Günerli'ye, Sn. Prof. Dr. Sükrü Araç'a ve Sn. Doç. Dr. Metin Manisalı'ya teşekkürü bir borç bilirim. Ultrasonografi tetkikinin yapılmasında Dr. Pamir Yastır'ya ve yardımlarından dolayı Dr. Murat Bozkurt'a teşekkür ederim.

Acil Sevis içindeki göstermiş oldukları özverili çalışmaları, benimle paylaştıkları deneyimleri ve yardımlarından Uzm. Dr. Gürkan Ersoy'a ve Uzm. Dr. Ülkü Ergene'ye ve her zaman sevgi ve saygı ortamında beraberce çalıştığımız asistan arkadaşlarımıza ayrıca teşekkür ederim.

Son olarak asistanlık sürem boyunca bana her zaman büyük anlayış ve hoşgörü gösteren sevgili aileme teşekkür ederim.

Dr. Rıdvan Atilla

İÇİNDEKİLER

1. Giriş ve Amaç:	1
2. Genel Bilgiler:	2
Anatomı:.....	2
Eklem mekanığı:.....	3
Tanı:.....	3
Eklemin ligaman zedelenmeleri:.....	6
Tedavi:.....	7
Ultrasonografinin kısa fiziği:.....	8
3. Gereçler ve Yöntem:	12
4. Bulgular:	17
5. Tartışma:	24
6. Sonuçlar:	27
7. Özet:	28
8. İngilizce Özet:	29
9. Kaynaklar:	30

GİRİŞ VE AMAÇ

Ayak bileği burkulması acil servislerde en sık karşılaşılan bilek yaralanması tanısıdır¹. En sık içe burkuma (inversiyon) ile oluşur ve yaklaşık %80-90 'ında anterior talofibular ligaman (ATFL) zedelenmesi vardır^{2,3}.

Kas iskelet sistemindeki yaralanmaların erken tanısı ideal tedavi için gereklidir⁴. Sadece öykü ve fizik muayene ile ayak bileği burkulmasında kapsül veya kemik yapılarındaki hasarın derecesi saptanamaz⁵. Hızlı tanı için fizik muayenede çeşitli testler kullanılmaktadır. Ön Çekmece testi ve radyolojik Talar Tilt testi lateral ligamanların zedelenme derecesini saptamada kullanılan testlerdir. Ancak bu testler zedelenmeyi tam olarak gösterememektedir. Kemik yapılarının radyografi ile görüntülenmesi kırıkların tanısında yeterli olmakla beraber yumuşak dokular için yeterli değildir.

Bu tezin amacı acil servise ayak bileği burkulması ile başvuran ve kemik yapılarında kırık saptanmayan, ligaman zedelenmesi düşünülen hastalarda, kesin tanı için ucuz, pratik ve zararsız bir yöntem olan ultrasonografinin tanıda zedelenmeyi saptamadaki yararılığını araştırmaktır.

Acil servise Temmuz - Aralık 1998 tarihleri arasında ayak bileği burkulması şikayeti ile başvuran, 17 yaş üstü ve ayak ekleminde kemik yapılarında kırık olmayan hastaları çalışmaya aldık. Biz çalışmamızda tanı için acil serviste öykü, fizik muayene, standart grafilere ek olarak ultrasonografi ile ATFL'ı doğrudan görüntülemeyi denedik. Sonuçlarımızı kıyaslamak amacıyla daha sonra tüm hastalarımızı kontrole çağırarak manyetik rezonans yöntemi (MR) ile ATFL'larını görüntüledik. Öykü, fizik muayene, standart grafi ve ultrasonografi sonuçlarını bir ortopedi uzmanı ile son kez değerlendirderek MR bulguları ile karşılaştırdık.

GENEL BİLGİLER

ANATOMİ:

Kemikler. Eklemin kemik yapısını tibia, fibula, ve talus gibi üç kemik oluşturur. Kemikler birbirine ligamanlar ile bağlıdır. Talus tibia ve fibulanın arasına girerek kemiklerin stabilitesini sağlar. Eklem 'mortis' ve 'tenon' olarak tanımlanır. 'Mortis' tibia'nın alt yüzü, medial (tibial) malleol, ve lateral (fibular) malleol oluşturur. Lateral malleol medial malleoldan daha uzundur ve ucu talokalkoneal eklemin seviyesine dek iner. Bu fazlalık eklemin eversiyon hareketini kısıtlar ve bu nedenle medial taraftaki deltoid ligaman daha az zedelenir⁶.

'Tenon'u talus'un kama şeklindeki gövdesi oluşturur. Talusun ön kısmı arkaya nazaran daha genişir. Dorsifleksiyonda geniş olan ön kısmı tibianın alt yüzüne daha iyi yerleşir ve eklemin daha stabil kalmasını sağlar. Plantar fleksiyonda ise dar olan arka kısmı mortisi dolduramaz ve eklemde daha fazla boşluk kalır⁶. Talotibial eklemin tavanını ağırlığı taşıyan tibia oluşturur. Ayağın arka bölümünü kalkaneus ve talus'tan oluşur ve tibia'dan transfer olan ağırlığın büyük bölümünü taşır.

Ligamanlar. Ayak bileği ekleminin kemik yapılarını 3 grup ligaman çaprazlar³.

- i. Medial kollateral ligaman (Deltoid)
- ii. Lateral kollateral ligamanlar (Anterior talofibular ligaman [ATFL], Kalkanofibular ligaman [KFL], Posterior talofibular ligaman [PTFL])
- iii. Sindesmosis (anterior ve posterior tibiofibular ligaman, inferior transvers ligaman, interosseoz ligaman)

Medial kollateral ligaman kalın üçgen bant şeklidir ve ekleme medial destek sağlar.

Lateral kollateral ligamanlar üç tanedir (Şekil 1). Önden arkaya ATFL, KFL, PTFL yer alır. Doğal pozisyonda anterior ve posterior talofibular ligamanlar aynı düzlemdede yer alırlar. Bunlardan lateral malleolun ön kenarı ile talusun lateral kenarını bağlayan ATFL en zayıf olanıdır ve en sık zedelenir⁷. Bunların içinde en sağlam ligaman ise kalkaneofibular ligamandır. Filogenetik olarak iki ayağı üzerinde yaşayan canlılarda dik postürün korunması için ATFL iyi gelişmiştir. ATFL eklem kapsülü içinde dörtgen, yassı, ve ortalama 20 mm uzunluğundadır^{8,9}.

Tibia ve fibulanın alt kısımları sindesmosis tarafından bağlanır. Interosseoz

ligaman tibia ve fibulayı birbirine bağlayan sindesmosisin içindeki en sağlam bantır.

Kaslar. Önde tibialis anterior, ekstensör digitorum longus, ve ekstensör hallucis longus eklemi çaprazlar ve dorsifleksiyona katkıda bulunurlar. İçte, tibialis posterior, fleksör digitorum longus ve fleksör hallucis longus medial malleolün arkasından geçer ve ayağın inversiyonuna katılırlar. Dışta peroneus longus ve brevis kasları lateral malleolun yanından geçerler ve plantar fleksiyon ile eversiyona katılırlar.

Sinir ve damarlar. Popliteal arterin devamı olan anterior ve posterior tibial arterler ve peroneal arter ayak bileği ile ayağı besler. Sinirler ise siyatik sinirin devamıdır.

EKLEM MEKANIĞI:

Eklemin plantar fleksiyonda yaklaşık 45°, dorsifleksiyonda yaklaşık 20° hareket sınırı vardır (Şekil 2). Her bir ligaman eklemin stabilitesine ve hareketine katkıda bulunur. Doğal pozisyonda KFL fibula ile hemen hemen paralel ve eklemi inversiyona karşı stabilize edici konumdadır. Ayak plantar fleksiyona geçtiğinde ATFL, KFL'in stabilizasyon görevini devralır. Plantar fleksiyon sırasında gerilir ve fibula ile aynı hatta yaklaşır ve talusun mortis içindeki oynamasını kısıtlar.

Özet olarak ayak bileği eklemin tibia, fibula, talus ve onları birbirine sıkıca bağlayan bağlıları içeren bir halka yapısı gibidir. Hemen hemen tüm eklem zedelenmeleri talusun mortis içindeki anormal hareketine bağlıdır. Talar hareket malleoller veya tibianın alt kısmı üzerine doğrudan veya dolaylı bir strese yol açar. Eğer bu halka yapısında tek bir noktada zedelenme olursa ligamanlar sayesinde talar şift oluşmaz. Ancak halkada en az iki zedelenme varsa eklemin bütünlüğü bozulur ve talar şift oluşur. Bu anatomik durum eklemin stabilitesini değerlendirmede önemlidir.

TANI:

Spesifik ayak bileği ligaman zedelenmesinin tanısı ve derecelendirilmesinde

- a) öykü ve fizik muayene,
- b) radyodiagnostik tanısal testler,
- c) artrografi, tenografi gibi invaziv girişimlerden yararlanılır.

a) Öykü ve fizik muayene:

Öyküde zedelenmenin oluş mekanizmasının öğrenilmesi önemlidir. Yaralanma sırasında ayağın durumu, darbenin yönü, ses duyulup duyulmadığı gibi bilgiler;

zedelenen kemik ya da ligamanın tanısına yardımcı olur.

Radyolojik inceleme öncesi mutlaka fizik muayene yapılmalıdır. Görünür bir eklem deformasyonu varsa, hekim nörovaskular yapının sağlamlığını saptadıktan sonra radyografi istemelidir. Deformasyon yoksa lokal ödem, ekimoz olması zedelenen kemik veya ligaman hakkında bilgi verebilir. Palpasyon ile muayene; ağrının ve ödemin olduğu nokta, her iki malleol, navikular kemik, beşinci metatars başı ve proksimal fibulanın hassasiyetine ve sağlam ligamanların direnç göstereceği anormal hareketin saptanmasına dayanır. Hastanın radyografilerini isteme konusunda bu alanlardaki hassasiyet Ottawa Ayak Bileği kuralları içinde yer alır. Yaralı ayak bileğinin hareket sınırlına nazikçe bakılır ve diğer normal ayak bileği ile kıyaslanır.

Ligamanlardaki zedelenme için en yararlı test ön çekmece testidir (Şekil 3a). Talusun 3 mm'den fazla öne kayması ATFL zedelenmesi açısından anlamlı olabilir. Hekimin testi iyi bilmemesi nedeniyle yanlış pozitif veya negatiflik olasılığı vardır. Ligaman yırtığı daha geriye KFL'ye dek uzanıyorsa talusun mortis içindeki tilti veya hareketi, tibianın distal eklem yüzeyine göre saptanabilir. Eğer posterior talofibular ligaman da zedelenmiş ise eklem tamamen instabildir ve hiç bir test yapmadan çıktıktır. Bu muayeneler için iyi kas gevşemesi ve hasta uyumu şarttır.

b) Radyografik inceleme:

Radyografiler kırıkları saptamak ve ciddiyetlerini değerlendirmek için istenir. İstemler lateral, anteroposterior, mortis (ön-arka planda, 15° iç rotasyonda) görüntülerini içermelidir. Özellikle çocuklarda sağlam eklemle karşılaşmalı graflar yardımcı olabilir.

Standart graflar eklem ligamanlarını doğrudan göstermezler. Ancak bu graflar ligaman zedelenmesine bağlı eklem içi effüzyon miktarı 5 ml'den fazla olduğunda eklem içi yağ dokusunun itilmesi ile oluşan 'teardrop sign' görülebilirse yararlı olabilir¹⁰.

Eğer standart graflerde avülsyon kırığı, tibia/fibulada veya interosseoz membranda ayrılma, oblik veya spiral kırık, transvers kırık, fibular gövde kırığı, varsa ilgili ligamanda da yırtık vardır. Bu durumda stres graflerine gerek yoktur. Bununla beraber instabilité, talus ve mortis arasındaki eklem çizgisinde asimetri veya anormal talar tilt'ten şüpheleniliyorsa stres graflar çekilebilir.

Stres graflar ayak bileğine bir kuvvet uygulandığında hareket sınırlındaki artmanın radyolojik olarak gösterilmesine dayanır. Ön Çekmece ve Talar Tilt testi en sık kullanılan radyolojik stres testleridir. Bu testler sırasında stres grafleri çekilir.

Ön Çekmece testi grafi veya floroskopi altında da yapılabilir. Teknik olarak tibia ve fibula sabit tutulurken topuğa arkadan öne bir çekme kuvveti uygulanır. Normalde talus sabit kalır ancak ATFL zedelenmelerinde öne doğru yer değiştirir. Her ne kadar değişik yazarlar farklı noktalar önerse de şimdiki literatürde talusun, kalkaneusun arka sınırının önüne 3 mm'den fazla yer değiştirmesi anlamlı kabul ediliyor⁶.

Talar tilt testi, ağrı, spazm, ve ödem varlığı nedeniyle yeterli bilgi vermeyebilir. Bu testte topuğa dıştan içe bir kuvvet uygulanır. Ön çekmece testinde olduğu gibi uygulanan kuvvetin standartı yoktur. Bununla beraber talar tilt'in 5°den fazla olması anlamlı kabul edilebilir. Eğer 25°den fazla talar tilt varsa muayene tamamıyla anormaldir (Şekil 3b).

Ligaman yaralanmalarının uygun tanı ve tedavisi aşırı ağrı ve eklemin kronik instabilitesinin önlenmesi için önemlidir.

c) Artrografi

Deneyimli ellerde artrografi hızlı ve basit bir tekniktir. İlk 24 veya 48 saat içinde yapılmalıdır. Eklem dışına taşmış boyanın genelde bir yırtığın göstergesidir. Teknik olarak normal bileklerde yanlışlıkla tendon kılıfı içine boyaya verilebilir. Bu durum yanlış pozitif sonuçlara yol açar.

Standart grafiler kırıkları gösterir, stres grafiler eklem instabilitesi hakkında fikir verir, artrografi^{11,12,13}. Ligaman yırtıklarını gösterir, Bilgisayarlı Tomografi (BT)^{14,15} ve Manyetik Rezonans (MR)^{16,17,18} eklemin morfolojik ve anatomi yapısını gösterme de yararlıdır⁵. Stres grafiler ve artrografiler invaziv, zaman alıcı ve pahalı tekniklerdir.

EKLEMİN LİGAMAN ZEDELENMELERİ

Yaklaşık tüm ayak bileği zedelenmelerinin %75'i burkulmalardır. Bunların %90'ını lateral kollateral ve geri kalanını deltoid, antero-posterior tibiofibular ligaman, anterior posterior kapsül zedelenmeleri oluşturur^{2,3,6}. Eklem stabilitesini tibia, fibula ve talus'u bağlayan ligamanlar oluşturur. Yaralanmalar bu ligamanlara uygulanan aşırı kuvvetler veya talusun eklem içindeki anormal hareketine bağlıdır. Bu tip burkulmalarda ayağın internal rotasyonu ve inversiyonu ile oluşan lateral ligaman zedelenmesi, burkulmanın şiddetine göre önden arkaya bir sıra ile önce ATFL sonra kalkanofibular ligaman ve posterior talofibular ligamana dek uzanır³. İki yada daha fazla ligamanın veya kemik kalkanının zedelemesi eklem stabilitesini bozar.

Lateral Kollateral Ligaman Zedelenmesi:

Lateral kollateral zedelenmelerin %'90'ında anterior talofibular ligaman zedelenmesi yer alır. ATFL %65 tek başına zedelenirken, %25 KFL ile beraber zedelenir. ATFL ve KFL birbirinden ayrı iki yapı oldukları için burkulmaların standart birinci, ikinci, üçüncü derece sınıflamasını yapmak kolay olmayabilir. Bu ligamanların zedelenmelerinin sınıflaması tek veya çift zedelenme olup olmadığına göre yapılmaktadır. Bir ligaman yırtığında eklem bütünlüğü zayıflar ama kaybolmaz, iki ligaman yırtığında eklem不稳定 hale gelir. Ligamanlar genelde önden arka sırayla yırtılırlar; önce ATFL sonra KFL yırtılır.

ATFL ve KFL arasındaki fonksiyonel ilişki ve zedelenme mekanizması:

ATFL ile KFL arasında 70° ile 140° arasında değişebilen ortalama 105° olan bir açı vardır¹⁹. Bu açılma arttıkça dorsi fleksyonun veya plantar fileksyonun hiçbir pozisyonunda stabilizasyon görevini yerine getiremezler. Açılanma genelde KFL'nin anatomi varyasyonlarına bağlı olarak değişir. Ayak plantar fleksiyona geçtiğinde KFL geriye horizontal plana kayarken ATFL onun pozisyonuna yaklaşır ve daha vertikal ve fibular hatta paralel konum alır. Açı farkı fazla olanlarda ATFL eklem stabilizasyon görevini devralmadan KFL pozisyonunu kaybetmeye ve ayak bileği plantar fleksyon sırasında stabilitesini kaybetmektedir²⁰. Bu durum ligamanların zedelenmesi ile sonuçlanan burkılma mekanizmasıdır.

Medial Kollateral Ligaman Zedelenmesi:

Medial kollateral ligaman (deltoid) nadiren tek başına zedelenir. Genelde fibular bir kırık veya tibiofibular ligaman yırtığı ile beraberdir. Deltoid ligamanın bir kırık olmadan yırtılması hemen hemen imkansızdır. Deltoidin değerlendirilmesi talar tilt işaretini andıran eklemi içe-dışa zorlanması ile yapılabilir.

Tibiofibular Sindesmotik Ligaman Zedelenmesi:

Tibiofibular sindesmotik ligaman, distal tibia ve fibulanın interosseoz ligamanlarının bir devamıdır. Tibiofibular sindesmotik ligaman zedelenmesi aşırı dorsifleksiyon ve eversiyon sonucu olur. Genellikle tibia ve fibula kırıkları ile beraber görülür. İyi tedavi edilmez ise uzun dönemde gecikmiş iyileşme ve hasara yol açabilen ciddi zedelenmelerdir.

Burkulmaların sınıflanması:

Ligaman zedelenmeleri birinci, ikinci, üçüncü derece burkılma olmak üzere üçe ayrılırlar.^{21,22}

1. Derece: Ligamanlarda gerilme olmuş ama yırtık yoktur. Hafif hassasiyet, hafif ödem vardır, hasta ayağının üzerine basabilir ve grafiler normaldir.
2. Derece: Aşırı gerilme ve kısmi yırtık olabilir. Orta hassasiyet, ödem, üzerine basarken belirgin ağrı, vardır. Standart grafiler normal iken stres grafilerde talus ve mortisin anormal ilişkisi görülebilir.
3. Derece: Ligamanların tamamen yırtığında olur. Şiddetli hassasiyet, ödem, ekimoz ve sıkılıkla deformé eklem vardır. Standart grafilerde talus ve mortis anormalliği vardır; stres grafilere gerek yoktur.

TEDAVİ:

Tedavilerin burkulmanın derecelerine göre yapılmasında tartışmalar hala sürmektedir.

1. Derece: Buz, istirahat, elevasyon yeterlidir. Üzerine ne zaman ne kadar basacağı hastaya göre değişebilir
2. Derece: Buz ve istirahat gereklidir; aşırı ödem varsa koltuk değneği, atel de kullanılabilir.

3. Derece: Tedaviler hala tartışmalıdır. Bu gruptaki hastalarda istirahat, operasyon veya mobil tedavi seçeneklerinden hangisinin uygulanabileceği konusunda acil hekiminin ortopedi doktoruna danışması gereklidir.

Özellikle 1. ve 2. derece zedelenmeler acil cerrahi müdahalele endikasyonu taşımamakla birlikte her hasta bireysel değerlendirmeliidir. Burkulan eklemde imflamasyonun azaltılması için buz ve anti-imflamatuar tedavi gereklidir. Önerilen; hastanın buz dolu bir torbayı ödem kayboluncaya dek günde 3 - 5 kez 20 dakika süreyle eklemin üzerine koymasıdır. Hastanın erken mobilizasyonu uygun iyileşme için önemlidir. Mobilizasyonla kısmi zedelenen ligamanlar iyileşirken oluşan skar dokusu esneyebilir ve eklemin hareket kısıtlılığı önlenebilir. Elastik bandajlar ekleme gerçek anlamda bir destek sağlamazlar ancak ödemin dağılmasına yardımcı olurlar²³.

2. derece zedelenmeler için 1-2 haftalık atel istirahati gerekebilir. Burkulmaların iyileşmesinde fizik tedavinin önemi fazladır. Eklemin hareket yeteneğini artırıcı ve ligaman ve kasları güçlendirici egzersizler kısmi veya tam yırtık tedavisinin bir parçasıdır.

3. derece yaralanmalar için cerrahi girişim gereklidir. Operasyon endikasyonları arasında ağrının ve/veya instabilitenin devam etmesi, açık reduksiyon gereken bir kırıkla beraber olan ligaman zedelenmesi,不稳定 eklem ve bir tendonun tam yırtığıdır.

Cerrahi girişim düşünülmeyen 3. derece zedelenmelerde posterior atel ve aktif egzersizler tedavi seçenekleri olabilir.

ULTRASONOGRAFI'NIN KISA FİZİĞİ

Ultrasonografi vücut yapılarını ve yumuşak dokuları diyagnostik amaçla inceleyen bir yöntemdir. Vücuda kısa ultrasonografik pulslar gönderilerek doku yüzeylerinden yansıyan ve saçılıan ekolların uygun bir şekilde işlenmesi ile iki boyutlu bir kesit görüntü oluşturulur.

Ses, cisimlerin titreşimi sonucu meydana gelir. Elektro-manyetik dalgaların tersine, ortamda *longitudinal dalgalar* şeklinde yayılır. Sesin saniyedeki titreşim sayısına frekans adı verilir. Frekans ne kadar yüksekse ses o kadar tızzır. Sesin frekans ölçüsü Hertz dir (1 Hz = 1 titreşim/Sn). Tıpkı gözün elektromanyetik spektrumdaki frekansların bir bölümüne duyarlı olması gibi, kulak da belirli frekanstaki sesleri iştebilir. Bu frekans

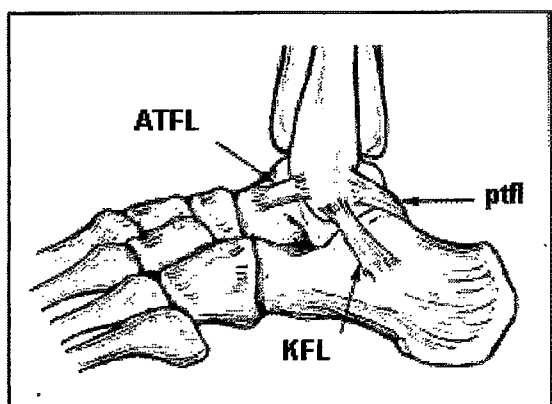
yaklaşık 20-20.000 Hz arasındadır. 1000 Hz'e 1 kHz (kilohertz), 1000 kHz'e de 1 MHz (Megahertz) denir. Bu değerlerin altındaki *infrasonik*, üstündeki *ultrasonik* frekanslar adı verilir. Tipik 1-15 mHz'lik problemler kullanılır.

Tüm ses dalgaları hızla titreşen cisimlerden ortaya çıkar. 1880 yılında Curie'ler tarafından keşfedilen piezo-elektrik (basınç-elektrik) olayı, kuartz gibi bazı kristallerin, mekanik ve elektrik enerjilerini birbirine çevirmesi temelini dayanır. Bu şekilde enerji çevirici maddelere *Transduser (çevirici)* adı verilir. USG aygıtlarında transduseri taşıyan başlığı prob adı verilir.

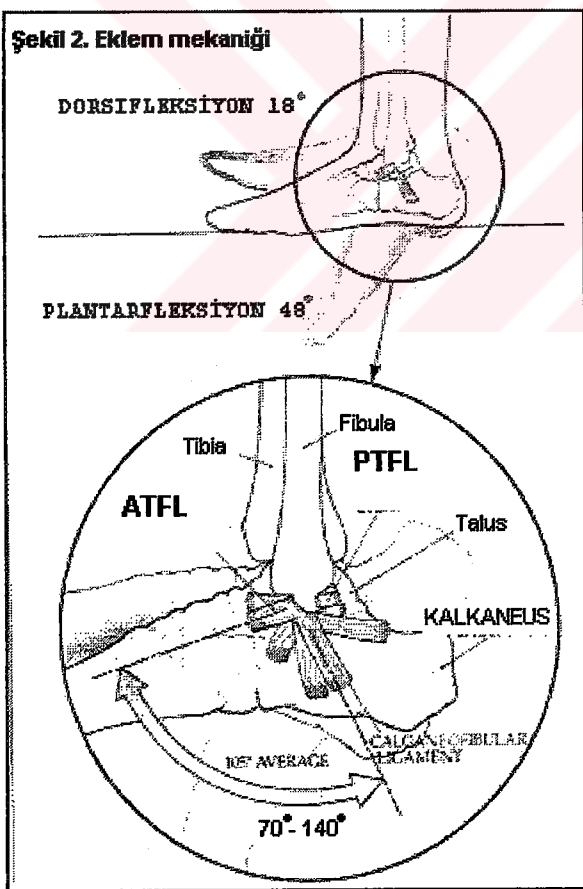
Ultrasonik radyasyon intensitesi maddeyi geçerken, absorbsiyon, saçılma ve yansımıma nedeniyle azalır. Absorbsiyon sesin frekansına, dokunun absorbsiyon katsayısına ve doku kalınlığına bağlıdır. Su çok düşük, kemik çok yüksek absorbsiyon katsayısına sahiptir. Yansıtma ultrasonun tanıda kullanılmasını sağlayan özelliğidir. Ultrasonik radyasyon yolu üzerinde iki farklı yapıdaki maddeyi ayıran yüzeye karşılaşlığında, bir bölümü yoluna devam ederken bir bölümü yansır. Yüzeylere dik olarak gelen ultrason, dik olarak yansıyarak transdusere gelir. Ses demeti düz yüzeye eğik geldiğinde optikte olduğu gibi geliş açısına eşit bir açı ile yansır.

Sesin çarptığı yüzeyler düzgün değilse saçılma meydana gelir. Organ ve dokuların yapısı heterojen olduğundan parankim görüntüsünde saçılmanın payı büyüktür. Ultrasonun dalga boyu kısalıkça yayıldığı aks boyunca rezolüsyon (aksiyal rezolüsyon) artar. Rezolüsyonun artması görüntülerin çok detaylı olmasına neden olur. Buna karşılık dalga boyu kısalıkça penetrasyonun düşmesi önemli bir özellikle. Örneğin 7.5 mHz'lik bir ultrason demeti ile beş, 10 mHz'lik ise üç santimden daha derin yapılar incelenemez. Bu nedenle ultrason incelemelerinde incelenen yapıların derinliğine göre transduserin frekansı ayarlanmalıdır²⁴.

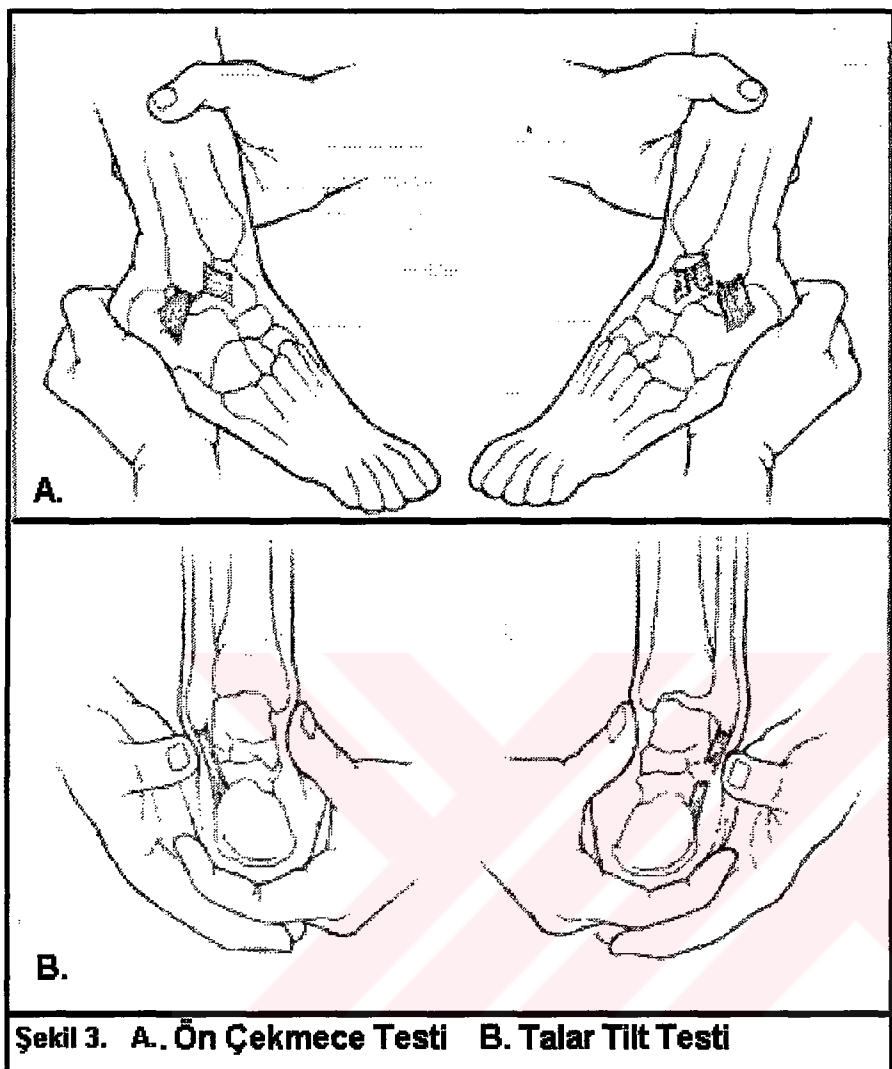
Şekil. 1 Lateral Kollateral Ligaman



Şekil 2. Ekleme mekaniği



Şekil 3. Testler (Ön çekmece ve Talar Tilt testi)



GEREÇLER VE YÖNTEM:

Bu prospektif, metodolojik çalışma Dokuz Eylül Üniversitesi Tıp Fakültesi Hastanesi Acil Servisinde Temmuz - Aralık 1998 tarihleri arasındaki dönemde yapıldı.

Çalışmaya alınma kriterleri:

Çalışmaya acil servise ayak bileği burkulması şikayeti ile başvuran 17 yaş üstü tüm hastalar alındı.

Çalışmadan dışlanması kriterleri:

Hastaların ayak bileği eklem kemiklerinde veya ayak kemiklerinde kırık saptanması, ultrasonografi veya manyetik rezonans tetkikini kabul etmemesi veya bu tetkiklerin herhangi bir sebepten yapılamaması, hastaların alkollü veya başka ek travmalarının olması çalışmadan dışlanması kriterleri olarak kabul edildi.

Bu dönemde acil servise ayak bileği burkulması şikayeti ile 89 hasta başvurdu. Bu hastaların 13'ünde kırık tesbit edildi. 4 hastaya travma dışı ligaman zedelenmesi tanısı kondu. 48 hastanın kontrollere gelmeyerek takip dışı kalması nedeniyle USG tetkiki yapılamadı. 4 hasta MR tetkikini yaptırmadı. Geri kalan toplam yirmi hastaya USG ve MR tetkiki yapıldı.

Acil servise başvuran hastaya triajda özel bir ayak bileği burkulması formu çıkarıldı. Bu formun üzerine demografik bilgiler, öyküde burkulmanın tipi, darbenin varlığı, burkulma zamanı yazıldı. Fizik muayene kısmında ödem, ekimoz, ön çekmece testi gibi bulgularının yanında Ottawa Ayak Bileği Kurallarına^{25,26} uygun olarak hazırlanmış muayene bulgularının olduğu kısmı dolduruldu. Ek olarak lateral ligamanlar üzerinde nokta hassasiyetinin olup olmadığı not edildi. Hastalardan fizik muayene bulgularına göre standart radyografik tetkikler istendi. Hastaların grafisinde kırık saptananlar çalışma dışı bırakıldı. Tedavileri fizik muayene bulgularına ve radyografi sonuçlarına göre düzenlendi. Hasta taburcu edilmeden önce bilgilendirme formu verildi. Çalışmaya katılmak isteyen hastaların ATFL' sinin ultrasonografik

incelemesi eğer hasta gündüz gelmiş ise aynı gün, gece gelmiş ise ertesi gün en geç 24 saat içinde yine acil servise kontrole çağrılarak yapıldı.

Ultrasonografik inceleme bir radyolog tarafından 3.5 ve 5-mHz' lik probu olan Pie Medical Scanner 200, Model 41480 cihaz ile acil içinde yapıldı. Görüntüler Mitsubishi Video Copy Processor, Model P61E marka yazıcıdan çıkarıldı.

Tetkikin mümkün olan en fazla standartizasyonunu sağlayabilmek için hasta sağlam bacağı tarafına yatırıldı ve sağlam bacağı kıvrıldı, burkulan ayak bileği doğal pozisyonda iken su yastıkçığının her iki yanına jel sürülerek ATFL' nın üzerine kondu. Probyn pozisyonu fibular malleolun ucundan sagittal planda ligamanın üzerinden geçen düzlemi içine alacak şekilde oldu (Resim 1a). Tetkik sırasında ATFL bütünlüğü doğrudan görüntülenmeye çalışıldı, eğer görülemez ise ligaman çevresinde ödem, effüzyon, hematom vb. nedeniyle sinyalde bozulmaya yol açan bir dansite farkı arandı. Sinyal dansitesinde bozulma veya ligamanın görülememesi pozitif USG bulgusu olarak yorumlandı.

Kullanılan probun frekans özelliğinden dolayı derin dokulara daha iyi penetrasyon yeteneğinden ve artmış çözünürlüğünden yararlanmak için prob yüzeyi ile cilt arasına su yastıkçığı konuldu. Su yastıkçığı olarak pratik olması açısından içi su doldurulmuş ve içinde hava kabarcığı bulunmayan bir lateks cerrahi eldiven kullanıldı(Resim 1b).

Hastalar en geç bir hafta içinde MR kontrolüne çağrıldı. Siemens Magnetom SPE 10 marka ve 1 Tesla gücünde cihaz ile ATFL'ye yönelik tetkikleri yapıldı. İnceleme sagital düzlemdede T2 spin-eko (SE) ağırlıklı, koronal düzlemdede T1 SE ağırlıklı, aksiyel düzlemdede T1 SE ve paraaksiyel düzlemdede ise gradient eko yöntemleriyle yapılmıştır. MR sonuçları bir radyoloji öğretim üyesi tarafından yorumlandı. MR bulgularında yine ATFL'nin bütünlüğünün bozulmuş olması veya

ligaman çevresinde sinyal dansitesinde bozulmaya yol açan effüzyon varlığı pozitif değer kabul edildi.

Veriler Spss 6.0 for Windows istatistik programında bilgisayara girildi ve sonuçlar Pearson ve Fisher'in kesin ki-kare testi ile hesaplandı.



HASTA VERİ KAYIT FORMU

Hastanın Adı Soyadı:.....	Tarih:
Protokol No :	Yaş: Cinsiyet: E <input type="checkbox"/> K <input type="checkbox"/> Tel:
Resmi Güvence : <input type="checkbox"/> Yok <input type="checkbox"/> Em. San <input type="checkbox"/> SSK <input type="checkbox"/> Bağ-Kur <input type="checkbox"/> Özel Sigorta	

Burkulmanın Tipi:	Darbe varsa:	Burkulmanın Zamanı:
<input type="checkbox"/> İç burkulma	<input type="checkbox"/> Önden <input type="checkbox"/> İçten	<input type="checkbox"/> < 4 saat
<input type="checkbox"/> Dışa burkulma	<input type="checkbox"/> Arkadan <input type="checkbox"/> Dıştan	<input type="checkbox"/> > 4 saat
Fizik Bakı:		
<input type="checkbox"/> Ödem Yok	<input type="checkbox"/> Ekimoz Yok	
<input type="checkbox"/> Ödem Lokal	<input type="checkbox"/> Ekimoz Lokal	
<input type="checkbox"/> Ödem Yaygın	<input type="checkbox"/> Ekimoz Yaygın	
<input type="checkbox"/> İç malleol hassasiyeti	<input type="checkbox"/> ATFL hassasiyeti	
<input type="checkbox"/> Dış malleol hassasiyeti	<input type="checkbox"/> KFL hassasiyeti	
<input type="checkbox"/> 5. Metatars hassasiyeti	<input type="checkbox"/> Deltoid hassasiyeti	
<input type="checkbox"/> Proksimal fibula hassasiyeti		
<input type="checkbox"/> Navikuler hassasiyet		
<input type="checkbox"/> Acil serviste yürüyebiliyor mu?	<input type="checkbox"/> < 4 adım <input type="checkbox"/> > 4 adım	
Ön Çekmece testi	: <input type="checkbox"/> < 0.5 cm <input type="checkbox"/> 0.5 –1 cm <input type="checkbox"/> > 1 cm	
Talar Tilt testi	: <input type="checkbox"/> < 5° <input type="checkbox"/> 5°-15° <input type="checkbox"/> > 15°	

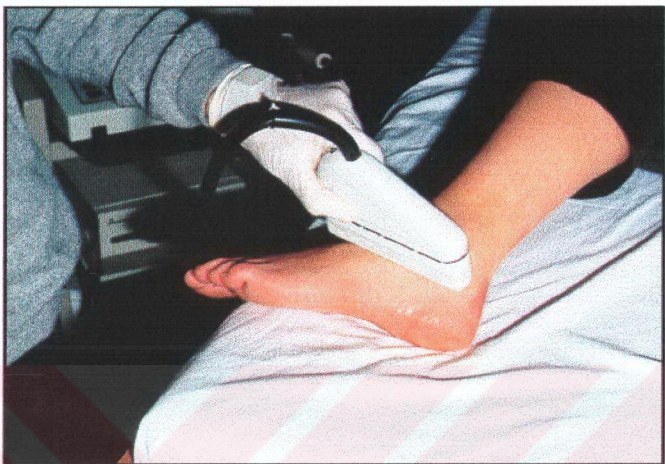
Standart X-R:
Ayak Bileği : <input type="checkbox"/> AP, Lat. <input type="checkbox"/> Mortis*
Ayak : <input type="checkbox"/> AP, Obl.
Stres X-R:
Ayak Bileği : <input type="checkbox"/> İç Stres <input type="checkbox"/> Dış Stres

Tanı: (Birden çok olabilir)
<input type="checkbox"/> 1. Derece Ayak Bileği burkulması,
<input type="checkbox"/> 2. Derece Ayak Bileği burkulması,
<input type="checkbox"/> 3. Derece Ayak Bileği burkulması
<input type="checkbox"/> Dış Malleol kırığı
<input type="checkbox"/> İç Malleol kırığı
<input type="checkbox"/> Metatars kırığı
<input type="checkbox"/> Kuboid kırığı

Ortopedi konsültasyonu: <input type="checkbox"/> Evet <input type="checkbox"/> Hayır
Tedavi önerileri: (Birden çok olabilir)
<input type="checkbox"/> Yok
<input type="checkbox"/> İlaç
<input type="checkbox"/> İstirahat
<input type="checkbox"/> Buz
<input type="checkbox"/> Alçı-atel
<input type="checkbox"/> Elastik Bandaj
<input type="checkbox"/> Elevasyon
<input type="checkbox"/> Koltuk Değneği
<input type="checkbox"/> Poliklinik kontrolü
<input type="checkbox"/> Yatış

USG Geliş Tarihi:
USG bulguları:
ATFL hasarı:
<input type="checkbox"/> Tam
<input type="checkbox"/> İnkomplet
<input type="checkbox"/> Yok
<input type="checkbox"/> Görülemedi
KFL hasarı:
<input type="checkbox"/> Tam
<input type="checkbox"/> İnkomplet
<input type="checkbox"/> Yok
<input type="checkbox"/> Görülemedi
MRI Geliş Tarihi :
MRI bulguları:
ATFL hasarı :
<input type="checkbox"/> Tam
<input type="checkbox"/> İnkomplet
<input type="checkbox"/> Yok
KFL hasarı :
<input type="checkbox"/> Tam
<input type="checkbox"/> İnkomplet
<input type="checkbox"/> Yok

Resim. 1a



Resim. 1b



BULGULAR

Çalışmaya acil servise akut ayak bileği burkulması ile başvuran 7 erkek ve 13 kadın hasta alındı. Yaşları 17-57 arasında değişen erkek hastaların ortalaması $30 \pm 10,98$; yaşları 18-42 arasında değişen kadın hastaların ortalaması $30 \pm 8,97$ oldu. Çalışmaya alınan hastaların bulguları Tablo 1.'de gösterildi.

Tablo 1a. Çalışmaya alınan hastaların bulguları

	Yaş	Cinsiyet	Burk.Tipi	Zaman	Ödem	Ekimoz	Yürüme	Ağrı	Çekmece
1	17	E	I	<4	E	H		6	
2	36	K	I		H	H	<4	5	
3	38	K	I		H	H	<4	5	
4	30	K	I	<4	H	H		6	>5 mm
5	17	E	I		E	H	<4	6	>5 mm
6	37	K	I		E	H	<4	2	
7	36	K	I	<4	E	H		6	
8	31	K	I	<4	E	H		6	
9	37	E	I	<4	E	E	<4	6	>5 mm
10	42	K	I	<4	E	H		6	
11	57	E	I	<4	E	H		6	
12	18	K	I		H	H		3	
13	18	K	I	<4	E	H		6	
14	28	K	I	<4	H	H		7	
15	39	K	E		H	H		6	
16	19	E	I	<4	E	E		6	
17	52	E	I	<4	E	H	<4	6	
18	18	K	I	<4	H	E		6	
19	21	K	I		E	H		6	
20	17	E	I		E	H	<4	6	

Burk. Tipi : I= İnversiyon, E= Eversiyon **Zaman** : <4= 4 saatten az

Yürüme : <4= 4 adımdan az **Ağrı** : 2= Dış malleol,

3= 5. Metatars başı, 4= proks. Fibula, 5= navikuler, 6= ATFL, 7= KFL,

Tablo 1b.

			USG'de Patoloji	USG'de Patoloji	MR'da Patoloji	MR'da Patoloji
	Yaş	Cinsiyet	ATFL	Effüzyon	ATFL	Effüzyon
1	17	E				
2	36	K	E	E	E	E
3	38	K				E
4	30	K	E	E	E	E
5	17	E	E	E	E	E
6	37	K				E
7	36	K		E		E
8	31	K				
9	37	E		E		E
10	42	K				E
11	57	E				
12	18	K				
13	18	K				
14	28	K				
15	39	K		E		E
16	19	E		E		E
17	52	E				E
18	18	K				
19	21	K		E	E	E
20	17	E	E	E	E	E

USG/MR'da Patoloji : E= Evet

Hastaların öykülerine göre ayak bileği burkulmalarının mekanizması 19 hastada inversiyon, 1 hastada eversiyondu. Burkulmanın zamanı acile gelmeden önce 4 saatten az olanlar 8 hasta, 4 saatinden fazla olanlar 12 hastaydı. Burkulmanın mekanizması ve zamanı, ligaman lezyonlarının USG bulguları ile uyumlu değildi (sırasıyla, $p=0.45$; $p=0.204$). Bu veriler MR ile karşılaştırıldığında istatistiksel olarak anlamlı bulunmadı (burkulmanın mekanizması için $p=0.65$ ve burkılma zamanı için $p=0.105$).

Fizik muayanede 13 hastada ödem, 3 hastada ekimoz vardı. 7 hasta acil servis içinde 4 adımdan fazla yürüyemiyordu. Fizik muayene bulguları ile USG sonuçları arasında bir ilişki saptanmadı (ekimoz için $p=0.423$, ödem için $p=0.887$, 4 adımdan fazla yürüyememe için $p=0.423$ ve ağrının lokalizasyonu için $p=0.575$). Hastaların fizik muayene bulguları MR bulguları ile karşılaştırıldığında anlamlı bir ilişki bulunamadı (ödem için $p=0.588$, ekimoz için $p=0.947$, ağrının lokalizasyonu için $p=0.253$). Hastaların yakınlarına göre 15 hastada ATFL üzerinde, iki hastada navikuler kemik üzerinde, bir hastada KFL üzerinde, bir hastada beşinci metatars başı üzerinde ve bir hastada fibular malleol üzerinde subjektif ağrı vardı. Ağrının lokalizasyon bulguları ile MR bulgularının karşılaştırılmasında anlamlı bir ilişki yoktu ($p>0.05$).

Ancak acil servis içinde hastaların 4 adım yürüme bulguları MR sonuçları ile karşılaştırıldığında anlamlı bir ilişki bulundu ($p=0.016$). 4 adım yürüme için sensivite %53, spesitivite %100, pozitif tahmini değer %100, negatif tahmini değer %53 bulundu (Tablo. 3).

Tablo. 3 - Dört adım yürüme bulguları ile MR'ın karşılaştırılması

MR bulguları (effüzyon + ATFL lezyonu) ($p=0.016$).			
	Patolojik	Normal	Toplam
< 4 adım yürüme	7	0	7 (%35)
> 4 adım yürüme	6	7	13 (%65)
Toplam	13 (%65)	7 (%35)	20 (%100)

Dört hastada USG ile ATFL'de lezyon tesbit edildi. Bu hastalarda aynı zamanda eklem içi artmış effüzyon da vardı. Bu hastaların MR tetkiklerinde ATFL yırtığı net olarak gösterildi. Sadece bir hastada USG ile ATFL lezyonu gösterilemedi.

USG ile 9 hastada eklem içi effüzyon tesbit edildi. Buna ATFL lezyonu tesbit edilen 4 ve ATFL lezyonu bulunamayan bir hasta da dahildi. MR ile bu 9 hastanın hepsinde effüzyon ve 5'inde ATFL lezyonu gösterildi. (Tablo. 1b).

Hastaların USG ile MR bulgularında effüzyon ve ATFL lezyonu beraber kıyaslandığında anlamlı bir ilişki saptandı ($p=0.004$). USG için sensivite %69, spesitivite %100, pozitif tahmini değer %100, negatif tahmini değer %63 oldu.

MR ile 4 hastada daha effüzyon saptandı ancak bunların hiçbirinde ligaman yırtığı yoktu. Bu 4 hastadaki effüzyon USG ile saptanamadı. (Tablo. 4).

Tablo. 4 –USG ile eklem içi effüzyon gösterilen hastaların MR ile karşılaştırılması

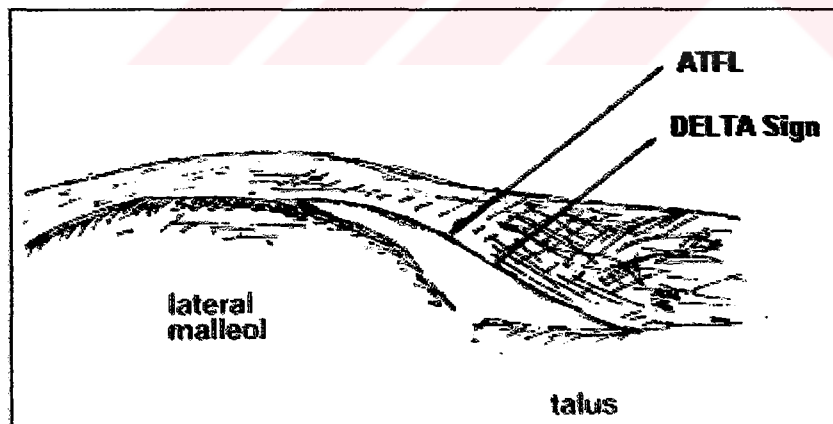
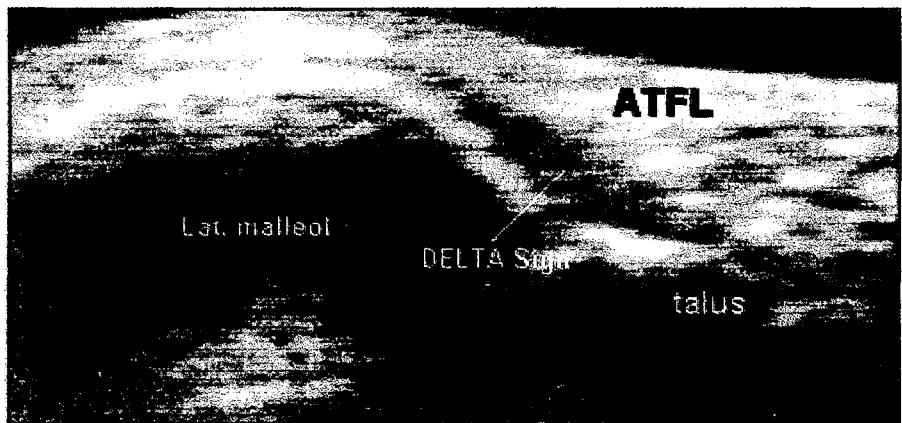
		MR bulguları		p=0. 004
USG	Patolojik	Patolojik	Normal	Toplam
ile		9	0	9 (%45)
effüzyon	Normal	4	7	11 (%55)
bulguları				
	Toplam	13(%65)	7(%35)	20 (%100)

USG ile ATFL lezyonu doğrudan gösterilebilen hastaların sonuçları MR kıyaslandığında anlamlı değildi ($p>0.05$). Bu hastalarda USG'nin sensivitesi %30, spesitivitesi %100, pozitif tahmini değeri %100, negatif tahmini değeri %43 bulundu (Tablo. 5).

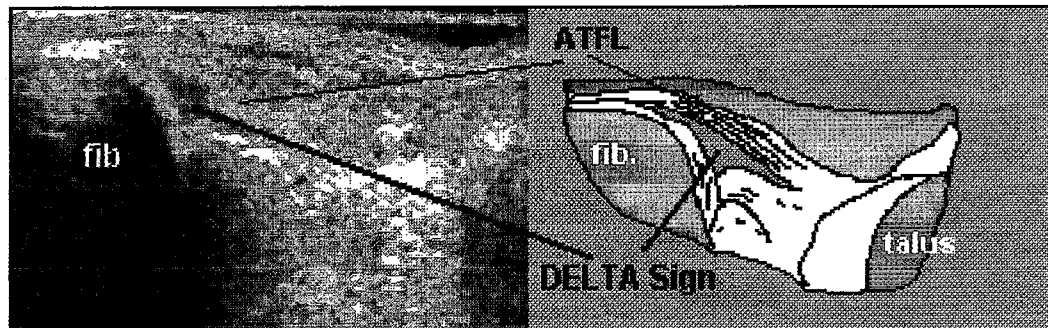
Tablo. 5. USG' da doğrudan ATFL lezyonu gösterilen hastaların MR ile kıyaslanması

		MR bulguları		p>0.05
USG	Patolojik	Patolojik	Normal	Toplam
ile		4	0	4 (%20)
ATFL	Normal	9	7	16 (%80)
lezyonu				
	Toplam	13 (%65)	7 (%35)	20 (%100)

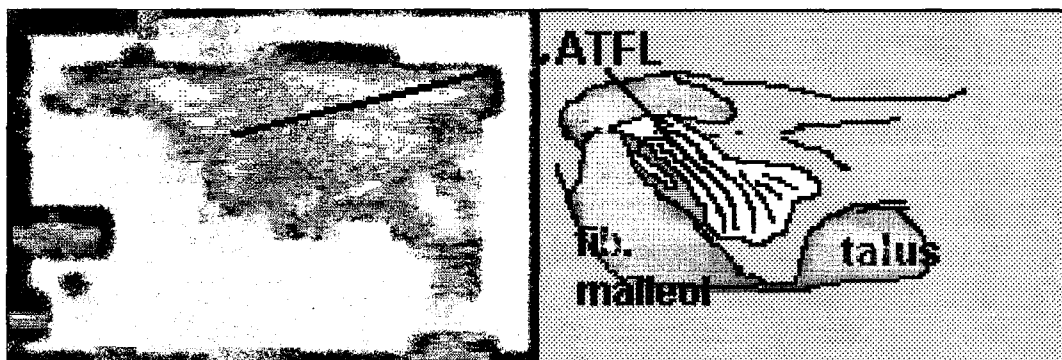
Şekil 4. Delta Sign (Friedrich ve ark)



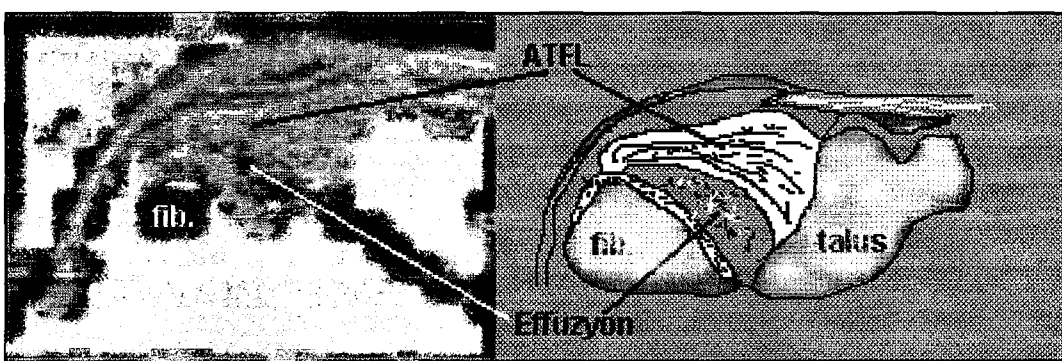
Şekil .5 Delta Sign



Şekil. 6 ATFL Yırtığı



Şekil. 7 Effüzyon artışı ve olası ATFL zedelenmesi



TARTIŞMA

Ayak bileği burkumlarda ATFL en sık zedelenen ligamandır. ATFL zedelenmesinin tanısında USG'nin kullanımı teknolojik gelişmelere paralel olarak giderek yaygınlaşmıştır. USG, diz ve ayak bileği eklemlerinin zedelenmelerinin tanısında ilk kez 1986 ve 1987 yılında kullanılmıştır²⁷.

Başlangıç dönemlerinde yapılan çalışmalarda kronik vakalar incelenmiş ve ATFL için anlamlı sonuçlara ulaşılmıştı. Ayak bileği ekleminde lateral ligamanlara bağlı kronik instabilitesi olan hastalarda USG ile radyografilerin kıyaslandığı bir çalışmada USG'nin sensivitesi ve spesitivitesi sırasıyla %90 ve %85 olarak bulunmuştur²⁸. 5 mHz prob ile ATFL' nin ölçüldüğü başka bir çalışmada USG sonuçları intraoperatif bulgularla %88.8 uygunluk göstermiştir. Bu çalışmanın pozitif tahmini değeri yaklaşık %95 olmuştur²⁹.

Kronik vakaların dahil edildiği bir çalışmada, USG sonuçları ile intraoperatif bulgular kıyaslanmış ve ATFL için %96'lık bir sensivite oranı bulunmuştur³⁰.

USG, Almanya'da Hannover Tıp Okulu Travma Departmanında 1985 yılından beri rutin muayenenin içinde kullanılmaktadır. Bu merkezin USG sonuçlarından yararlanılarak ayak bileğinde USG'nin uygulama ve tekniğindeki olasılıkları içeren bir çalışma yayınlanmıştır³¹.

Yapılan çalışmalarda konservatif ve operatif tedavi sonuçlarını takip için USG'den yararlanılmış ve USG'nin geç dönemde takip için yararlı olabileceği yayınlanmıştır³².

Akut inversyon mekanizması ile ayak bileği burkulan hastalarda yüksek frekanslı USG (13-mHz) kullanılarak, ATFL zedelenmesi incelenmiş ve MR bulguları ile kıyaslanan USG 'nin sonuçlarının sensivitesi %92, spesitivitesi %83, pozitif tahmini değeri %93 ve negatif tahmini değeri %82 bulunmuştur³³.

ATFL eklem içinde yer alan bir ligamandır ve eğer zedelenme varsa eklem içinde effüzyon artmaktadır. Hastaların USG tetkikleri sırasında ATFL lezyonunun net görülememesine rağmen eklem içi effüzyon ile uyumlu sinyal dansite değişikliği saptanırsa bu ligamanda bir zedelenme lehine yorumlanabilir⁵. Önceden yapılan bir kadavra çalışmásında USG ile 5 mHz prob kullanılarak eklem içinde en az 2 ml sıvı tesbit edilebileceği gösterilmiştir. Aynı çalışmada MR ile eklem içi 1 ml, radyografiler ile en az 5 ml sıvının saptanabilecegi ortaya konmuştur¹⁰.

Talar tilt ve Ön Çekmece testi sırasında USG'den yararlanılabileceğini gösteren çalışmalar yayınlanmıştır³⁴. 7.5-MHz prob ile Hoffmann ve arkadaşlarının

yaptıkları çalışmada sonografik Ön Çekmece testinin sensivitesi %93, spesitivitesi %94, pozitif tahmini değeri %97 ve negatif tahmini değeri %89 bulunmuştur³⁵.

“Delta Sign”, subjektif USG bulgularından daha standart sonuçlar çıkartabilmek için ATFL lezyonu için ilk kez Friedrich tarafından tanımlandı ve tanı için kullanıldı. ATFL'nin talus ve fibula ile yaptığı bağlantının altında kalan hipoekoik alanın üçgene benzemesi nedeniyle Delta Sign olarak adlandırıldı (Şekil.4). Friedrich ve ark. Delta Sign kullanarak yaptıkları bir çalışmada USG sonuçlarına göre hastalar operasyona veya artrografiye alınmış; girişim sonuçları ile USG sonuçları karşılaştırıldığında sırasıyla operasyon %100, artrografi %94 USG ile uyumlu bulunmuştur⁵.

Bugüne deðin yapılan çalışmalarda dikkati çeken nokta, kullanılan problemin yüksek frekanslı (7.5-13-mHz) olmasıydı. ATFL cildin hemen 1-2 cm altında yer alan küçük bir yapıdır ve yüksek frekanslı probalar ile yüzeyel dokuların ayrıntılı görüntüsünün elde edilebilmesi nedeniyle ATFL'de oluşan lezyonların bu probalar ile gösterilmesi mümkünür. Acil servislerde genelde derin dokuları gösteren düşük frekanslı USG batın içi organlar gibi derin dokuların görüntülenmesinde kullanılır⁶.

Çalışmamızda düşük frekanslı (3.5 mHz) linear prob ile saptanan USG bulgularının ATFL zedelenmesinde tanışal değeri MR ile karşılaştırıldı. Akut olaylarda ligaman yırtıklarını saptamada MR'ın yararlığını gösteren birçok çalışma yayınlanmıştır³⁶ (Resim2). Bununla beraber kronik olgularda zedelenmeyi saptamada yetersiz kaldığını gösteren çalışmalar vardır^{37,38}. Probyn frekansının düşük (dalga boyunun yüksek) olmasına bağlı olarak rezolüsyonu düşük oldu. Rezolüsyonun düşüklüğü nedeniyle ATFL lezyonunun doğrudan görüntülenmesi her vakada mümkün olmadı. Bu durum testin sensivitesinin düşük olmasına yol açtı. Biz de lezyonu gösterebilmek için Delta Sign'ı kullandık (Şekil. 5). USG ile eklem morfolojisinde Delta Sign görülemediği veya yapısının bozulduğunun saptandığı hastalarda ligaman yırtığı ve artmış effüzyon lehine karar verildi (Şekil .6). Derinliği artırmak için su yastıkçığı kullandık. Su yastıkçığı, yüzeyel yapıların görüntülenmesini kolaylaştırdı ve bulguların değerlendirilmesinde yararlı oldu.

ATFL lezyonunu göstermeye çalıştığımızda sadece %30 olan testin sensivitesi effüzyon dikkate alındığında %69'a çıktı. Effüzyon gösterilen hastalarda kısmi ligaman zedelenmesi olabilir. Bu bulgu en azından 2. derece zedelenme tanısı için değer taşıyabilir (Şekil .7).

USG de hiçbir patoloji bulunamayan 4 hastamızda MR ile eklem içi effüzyon gösterildi. Ancak bu hastaların hiç birinde ATFL yırtığı saptanamadı. USG ile

effüzyonun gösterilememesi MR'ın 1 ml kadar küçük effüzyonları gösterebilmesindeki hassasiyet ile açıklandı.

USG tetkikinin kullanıcının bilgi ve yeteneğine bağımlı olması bu tetkikin ancak deneyimli ellerde güvenilir olabileceğini gösteriyor. Biz hastalarımızı cerrahiye yollamadık. Bu nedenle USG sonuçları ile intraoperatif bulguları kıyaslayamadık. Bulgularımızın daha fazla vaka içeren, çok merkezli çalışmalar ve intraoperatif bulgularla da desteklenmesinin daha yararlı olacağını düşündük.

Resim 2. ATFL lezyonunun MRI görüntülenmesi



SONUÇLAR

Ayak bileği burkulması tanısında bir çok radyografik tetkik kullanılır. Yumuşak dokuların zedelenmesini göstermek için ultrasonografi son yıllarda kullanılmaya başlanan bir yöntemdir.

Biz düşük frekanslı ultrasonografinin anterior talofibular ligaman zedelenmesinde tanıya katkısını araştırdık.

Akut zedelenmiş eklemde eklem içi effüzyonunun saptanmasının ligaman yaralanması için anlamlı olduğunu MR bulguları ile kıyaslayarak gösterdik.

Fizik muayene bulgularından dört adım yürüyememe bulgusu ligaman zedelenmesi açısından yararlı olabilir.

Sonuçlarımızda sensivitenin düşük olması düşük frekanslı USG'nin ATFL'yi göstermedeki teknik yetersizliğine bağlıdır. Bununla beraber spesitivitenin yüksek olması düşük frekanslı USG'nin su yastıkçığından yararlanılarak uygun teknik ile kullanıldığında effüzyonu saptamada faydalı olduğunu gösteriyor.

Ucuz, pratik zararsız bir tetkik olan ultrason acil servislerde ATFL zedelenme tanısı için uygun teknikle kullanılabilir. Daha geniş ve çok merkezli çalışmalar ile sonuçlar desteklenmelidir.

ÖZET

Ayak bileği burkulması acil servislerde en sık karşılaşılan bilek yaralanması tanısıdır. En sık içeburkulma (inversiyon) ile oluşur ve yaklaşık %80-90'ında anterior talofibular ligaman (ATFL) zedelenmesi vardır. Kas iskelet sistemindeki yaralanmaların erken tanısı ideal tedavi için gereklidir Tanıda fizik muayene ve radyografik tetkikler kullanılmaktadır.

USG, ligaman zedelenmesini göstermek için gittikçe artan sıklıkta kullanılan bir yöntemdir. Geçmişte yüksek frekanslı cihazlar ile yararlı sonuçlar elde edilmiştir. Acil servislerde zedelenme tanısında düşük frekanslı USG kullanımı yaygın değildir.

Prospektif, metodolojik kliniğe dayalı çalışmamızda acil servise ayak bileği burkulması ile gelen hastalarda düşük frekanslı ultrasonografinin tanısal yararlılığını araştırdık. Çalışmamızda MR'ı altın standart olarak kullandık. USG bulgularını MR ile karşılaştırdık.

Akut zedelenmiş eklemde eklem içi effüzyonunun saptanmasının ligaman yaralanması için anlamlı olduğunu MR bulguları ile kıyaslayarak gösterdik.

Fizik muayene bulgularından dört adım yürüyememe bulgusu ligaman zedelenmesi açısından yararlı olabilir.

Sonuçlarımızda sensivitesinin düşük olması düşük frekanslı USG'nin ATFL'yi doğrudan göstermedeki rezolüsyonun düşüklüğüne bağlıdır. Bununla beraber spesitivitesinin yüksek olması düşük frekanslı USG'nin, derinliği artırmak için su yastıkçığından yararlanılarak uygun teknik ile kullanıldığından eklem içi effüzyonu saptamada yararlı olduğunu gösteriyor.

Ucuz, pratik zararsız bir tetkik olan ultrasonun acil servislerde ATFL zedelenme tanısı için kullanılabilir. Daha geniş ve çok merkezli çalışmalar ile sonuçlar desteklenmelidir.

SUMMARY

Ankle sprains are the most common diagnosis of the ankle injuries in emergency departments (ED). Anterior talofibular ligament (ATFL) is the most common injured ligament of the ankle.

The appropriate management of the lesion depends on fast and accurate diagnosis. Long term complications are the instability of the ankle and ongoing pain during exercise.

Physical and radiological tests performed in the ED are helpful but not demonstrate objective findings in the assessment of the ligamentous injuries. Arthrography and MRI are most valuable methods but they are expensive, time consuming and not cost-effective in the ED.

The purpose of this study is to test the ability of low-frequency ultrasound (3.5 mHz with a standoff pad) to detect the ATFL lesion and ankle effusions in patients with acute ankle sprains.

In this prospective observational study we examined patients who presented with an acute ankle sprain to Dokuz Eylul University Hospital Emergency Department (ED) between July and December 1998. Inclusion criteria were age over 17 years and an acute ankle sprain (<24 hours old). Patients with fractures of the tibia, fibula, tarsal or metatarsals were excluded. Patients with a clinically suspected lesion of the ATFL were examined with USG and MRI independently by a senior radiology resident after evaluation by senior emergency medicine residents in the ED. No further arthroscopic or intraoperative interventions were performed. Data analyses were performed with Pearson and Fisher's exact tests.

Eighty-nine patients met inclusion criteria; 17 of them were excluded and 52 of them were lost to follow-up or refused USG or MRI. Twenty patients were examined with USG and MRI. In 13, ATFL lesions were detected by MRI. With MR as the gold standard, an ankle joint effusion was correctly diagnosed by USG in 9 of 13 patients (sensitivity %63, specificity %100, PPV %100, NPV %61, p=0,004) and of these nine patients, USG demonstrated the ATFL lesion in 4 (sensitivity %30, specificity %. PPV %100, NPV %43, p>0.05).

USG with a low-frequency scanner can allow a correct diagnosis of ankle effusions at the ankle joint. Further studies are needed.

KAYNAKLAR:

1. Rittenberry T J, Sloan E P.: Lower Extremity Injury. in: Hamilton G C. Emergency Medicine .1st edit. W B Saunders comp. Philadelphia. 1991; pp 748-81
2. Ferkel R D, Karzel R P, Del Pizzo W, Friedmann M J, Fischer S P.: Arhtroscopic treatment of anterolateral impingement of the ankle. Am J Sports Med 1991;19:440-6
3. Lindstrand A, Mortenson W.: Anterior instability of the ankle joint following acute ankle ligament sprain. Acta Radiol 1977; 18:529-39
4. Simon R.: Ankle Injuries. in: Emergency Orthopedics. The Extremities. 2nd edit. Appleton&Lange. Norwalk. 1987; pp 396-7
5. Friedrich J, Schnarkowski P, Rübenacker S, Wallner B.: Ultrasonography of capsular morphology in normal and traumatic ankle joints. J Clin Ultrasound 1993 March/April 21: 179-187
6. Waeckerle J F.: Ankle injuries in: Tintinalli J. Emergency Medicine. 4th edit. McGraw-Hill Comp. New York. 1996;1265-70
7. Brostrom L.: Sprained ankles. I. Anatomic lesions in recent sprains. Acta Chir Scan 1964;128:483-95
8. Prins J G.: Diagnosis and treatment of injury to the lateral ligaments of the ankle. Acta Chir Scand. 1979; Suppl. 486
9. Schneck C D, Mesgarzadeh M, Bonakdarpour A, Ross G: MR imaging of the most commonly injured ankle ligaments. Part I. Normal Anatomy. Radiology 1992;184:499-506
10. Jacobson J, Andresen R, Jaovisidha S, De Maeseneer M, Foldes K, Trudell D R, Resnick D.: Detection of ankle effusions: Comparison study in cadavers using radiography, sonography, and MR imaging. AJR 1998;170:1231-8
11. Zwipp H, Oestern H-J, Dralle W.: Zur Radiologischen Diagnostik der antero-lateralen Rotationsstabilität im oberen sprunggelenk. Unfallheilkunde. 1982; 85:419-26
12. Bonnin J G.: Injury to the ligaments of the ankle. J Bone Joint Surg 1965;47:609-11
13. Keyser K C, Gilula L A, Hardy D C, Vannier M.: Soft-tissue abnormalities of the foot and ankle: CT diagnosis. AJR 1988;150:845-50

14. Arndt R-J, Horns J W, Gold R H.: Clinical Arthrography, (ed 2).Williams and Wilkins, Baltimore, MD, 1985, pp 197-220
15. Solomon M A, Gilula L A, Oloff L M, Oloff J, Compton T.: CT scanning of the foot and ankle:12. Normal anatomy. AJR 1986;146:1192-1203
16. Kneeland J B, Macrandar S, Middleton W D, Cates J D, Jesmanowicz A, Hyde J S.: MR imaging of the normal ankle: Correlation with anatomic sections. AJR 1988;151:117-23
17. Beltran J, Munchow A M, Khabiri H, Magee D G, McGee R B, Grossman S B.: Ligaments of the lateral aspect of the ankle and sinus tarsi: An MR imaging study. Radiology 1990;177: 455-8
18. Erickson S J, Smith J W, Ruiz M, Fitzgerald S W, Kneeland B, Johnson J, Shereff M, Carrera G F.: MR imaging of the lateral collateral ligament of the ankle. AJR 1991;156:131-6
19. Inmann V T. The Joints of the ankle. Williams and Wilkins co. baltimore, Md. 1976
20. Klein S N, Oloff L M, Jacobs A M.: Functional and surgical anatomy of the lateral ankle. J Foot Surgery. 1981;20(3):170-6
21. Kaikkonen A, Kannus P, Jarvinen M.: Surgery versus functional treatment in ankle ligament tears. Clin Orthop and Related Resarch. 1996; 326:194-202
22. Trevino G S, Davis P, Hecht J P.:Management of acute and chronic lateral liament injuries of the ankle. Orthop Clin North Am. 1994; Vol 25(1):1-16
23. Sonzogni J.: Physical assesment of the injured ankle. Emergency Medicine 1989;Jan 15:62-71
24. Tuncel E.: Diyagnostik Radyoloji. 1.baskı. Taş kitapçılık, Bursa. 1989; 323-324
25. Stiell I G, Greenberg G H, McKnight R D.: Decision rules for the use of radiography in acute ankle injuries: Refinement and prospective validation. JAMA 1993; 269:1127-32
26. Lucchesi G, Jackson R E, Peacock W F, Cerasani C, Swor R A.: Sensitivity of the Ottawa rules. Ann of Emerg Med. 1995;26:1-5
27. Schricker T, Hien N M, Wirth C J.: Klinische ergebnisse sonographischer

Funktionuntersuchungen bei Kapsel-bandlisionen am Knie und Sprunggelenk. Ultraschall .1987; 8:27-31

28. Kemen M, Ernst R, Bauer K H, Weber A, Zumtobel V.: Sonographische versus radiologische Beurteilung der chronischen Aussenbandinstabilität am oberen Sprunggelenk. Unfallchirurg 1991; 94(12):614-8
29. Glaser F, Friedl W, Welk E.: Die Wertigkeit des Ultraschalls in der Diagnostik von Kapselbandverletzungen des oberen Sprunggelenkes. Unfallchirurg 1989 Nov, 92:11,540-6
30. Ernst R, Grifka J, Gritzan R, Kemen M, Weber A.: Sonographische Kontrolle des Aussenbandapparates am Sprunggelenk bei der frischen Bandruptur und chronischen Bandinstabilität. Z Orthop Ihre Grenzeb 1990 Sept-Oct, 128: 5, 525-30
31. Thermann H, Hoffmann R, Zwipp H, Tscherne H.: The use of ultrasonography in the foot and ankle. Foot Ankle 1992;13(7):386-90
32. Schnarkowski P, Glücker T M, Friedrich J M, Rübenacker S.: Sonographische Befunde bei lateralen Bandläsionen des oberen Sprunggelenkes nach konservativer und operativer Therapie. Fortschr Röntgenstr 1992; 157(6):561-5
33. Milz P, Milz S, Steinborn M, Mittlmeier T, Putz R, Reiser M.: Lateral ankle ligaments and tibiofibular syndesmosis. Acta Orthop Scand 1998; 69(1):51-55
34. Milbradt H, Thermann H, Hoffmann R, Galanski M.: Diagnostik methodische der Sonographie: Sprunggelenk, Fuss und Achillessehne. Bildgebung 1993;60(4):256-60
35. Hoffmann R, Thermann H, Wippermann B W, Zwipp H, Tscherne H.: Standardisierte sonographische Instabilitätsdiagnostik nach Distorsion des oberen Sprunggelenkes. Unfallchirurg 1993; 96:645-50
36. Schneck CD, Mesgarzadeh M, Bonakdarpour A.: MR imaging of the most commonly injured ankle ligaments. Part II. Ligament Injuries. Radiology 1992;184:507-12
37. Akseki D. Burkulma sonrası devam eden lateral ayak bileği ağrularında artroskopinin tanı ve tedavideki yeri. Uzmanlık tezi. D. E. Ü. T. F. Ortopedi ABD. İzmir. 1996
38. Farooki S, Yao L, Seeger L.: Anterolateral impingement of the ankle: Effectiveness of MR imaging. Radiology 1998;207:357-60